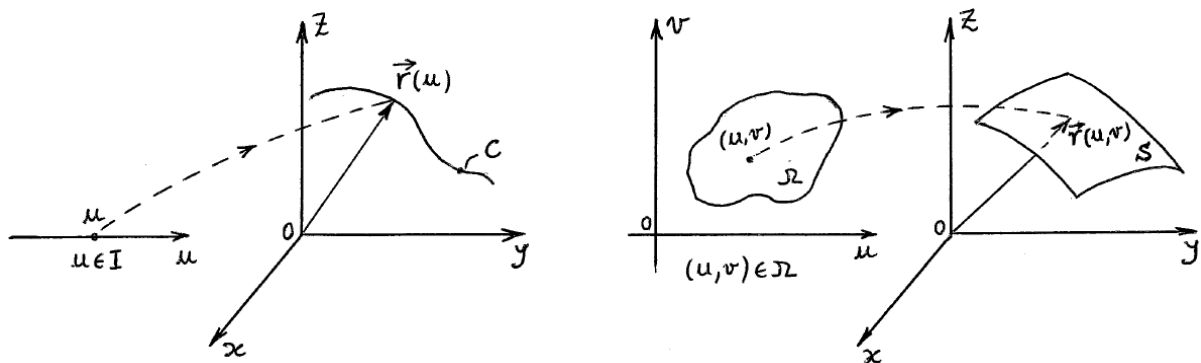


SUPERFÍCIES E OPERADORES

Parametrização da superfície

- Como se viu no capítulo 1, uma curva, C , no espaço pode ser parametrizada através de uma função vectorial $\vec{r}(u)$, em que u toma valores num dado intervalo I do eixo dos uu . Da mesma forma, é possível parametrizar uma superfície, S , no espaço através de uma função vectorial $\vec{r}(u,v)$, onde (u,v) toma valores numa dada região, Ω , do plano uOv .



Exemplo 1: O gráfico da função

$$z = f(x, y), \quad (x, y) \in \Omega$$

pode ser parametrizado considerando:

$$\vec{r}(u, v) = u\vec{i} + v\vec{j} + f(u, v)\vec{j}, \quad (u, v) \in \Omega$$

À medida que (u, v) toma valores em Ω , a extremidade do vector de posição $\vec{r}(u, v)$ traça a superfície $z = f(x, y)$, que é o gráfico de $f(x, y)$.

Exemplo 2: O plano que passa no ponto P e é gerado pelos vectores (linearmente independentes) \vec{a} e \vec{b} , pode ser parametrizado como:

$$\vec{r}(u, v) = P + u\vec{a} + v\vec{b}, (u, v) \in \mathbb{R}^2 \quad (1)$$

Este plano contém as linhas (rectas) ℓ_1 e ℓ_2 :

$$\ell_1 : \vec{r}(u, 0) = P + u\vec{a}, u \in \mathbb{R}$$

$$\ell_2 : \vec{r}(0, v) = P + v\vec{b}, v \in \mathbb{R}$$

Se o plano passa na origem, então a parametrização (1) reduz-se a:

$$\vec{r}(u, v) = u\vec{a} + v\vec{b}, (u, v) \in \mathbb{R}^2$$

Exemplo 3: Seja a superfície S (cilindro de revolução)

$$x^2 + y^2 = a^2, 0 \leq z \leq h \quad (a > 0) \quad (2)$$

cujas projecção, no plano xOy , é a *circunferência* de equação:

$$x^2 + y^2 = a^2, z = 0$$

Considerando (coordenadas cilíndricas)

$$x = a \cos(\theta), y = a \sin(\theta), z = v$$

a parametrização de S pode ser escrita sob a forma

$$\vec{r}(\theta, v) = a \cos(\theta)\vec{i} + a \sin(\theta)\vec{j} + v\vec{k}, (\theta, v) \in \Omega \quad (3)$$

em que Ω é a *região rectangular* do plano θOv :

$$\Omega : 0 \leq \theta \leq 2\pi, 0 \leq v \leq h \quad (4)$$

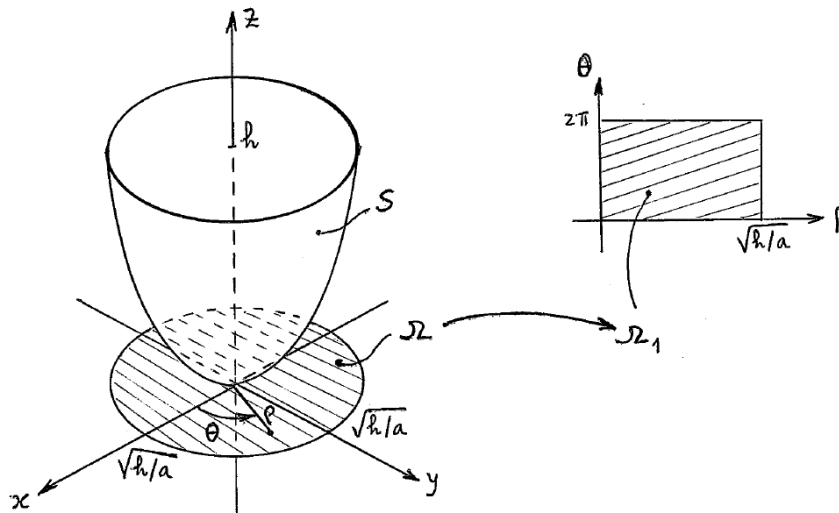
- O exemplo seguinte mostra que a parametrização de uma superfície não é única.

Exemplo 4: Seja a superfície S (*paraboloide de revolução*)

$$z = a(x^2 + y^2), \quad 0 \leq z \leq h \quad (a > 0) \quad (5)$$

cuja projecção, no plano xOy , é a *região circular*.

$$\Omega : 0 \leq x^2 + y^2 \leq h/a \quad (6)$$



Dado que $z = f(x, y)$, a parametrização de S pode ser feita considerando $x = u$ e $y = v$ (*coordenadas cartesianas*), isto é:

$$\vec{r}(u, v) = u\vec{i} + v\vec{j} + a(u^2 + v^2)\vec{k}, \quad (u, v) \in \Omega \quad (7)$$

Por outro lado, notando que a região Ω pode ser reescrita, no referencial $rO\theta$ (*coordenadas polares*), sob a forma (*região rectangular*)

$$\Omega_1 : 0 \leq \theta \leq 2\pi, \quad 0 \leq r \leq \sqrt{h/a} \quad (8)$$

é, ainda, possível definir a superfície S usando a seguinte parametrização:

$$\vec{r}(r, \theta) = r \cos(\theta)\vec{i} + r \sin(\theta)\vec{j} + ar^2\vec{k}, \quad (r, \theta) \in \Omega_1 \quad (9)$$

Se $a = 1$ obtém-se para a parametrização definida em (6) e (7)

$$\vec{r}(u,v) = u\vec{i} + v\vec{j} + (u^2 + v^2)\vec{k}, (u,v) \in \Omega, \quad \Omega : 0 \leq x^2 + y^2 \leq h$$

e para a parametrização definida em (8) e (9):

$$\vec{r}(r,\theta) = r\cos(\theta)\vec{i} + r\sin(\theta)\vec{j} + r^2\vec{k}, (r,\theta) \in \Omega_1$$

$$\Omega_1 : 0 \leq \theta \leq 2\pi, 0 \leq r \leq \sqrt{h}$$

Exemplo 5: A superfície esférica de raio a e centrada na origem pode ser parametrizada considerando

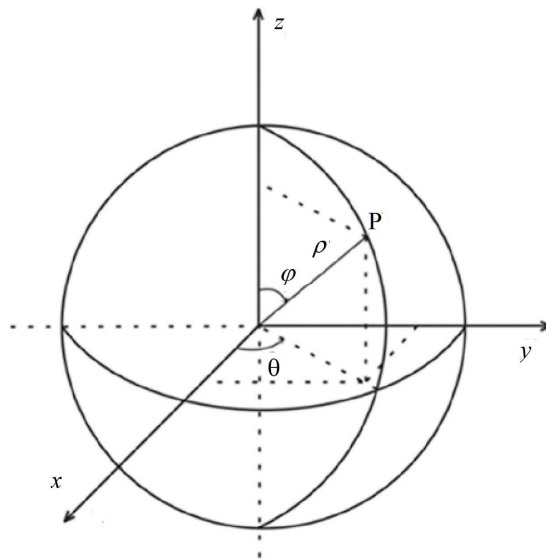
$$\vec{r}(\theta,\phi) = a\cos(\theta)\sin(\phi)\vec{i} + a\sin(\theta)\sin(\phi)\vec{j} + a\cos(\phi)\vec{k}, (\theta,\phi) \in R \quad (10)$$

em que R é a região rectangular do plano $\theta O \phi$ definida por:

$$R : 0 \leq \theta \leq 2\pi, 0 \leq \phi \leq \pi \quad (11)$$

Neste caso, recorreu-se ao sistema de coordenadas esféricas (ρ, θ, ϕ) , considerando $\rho = a$:

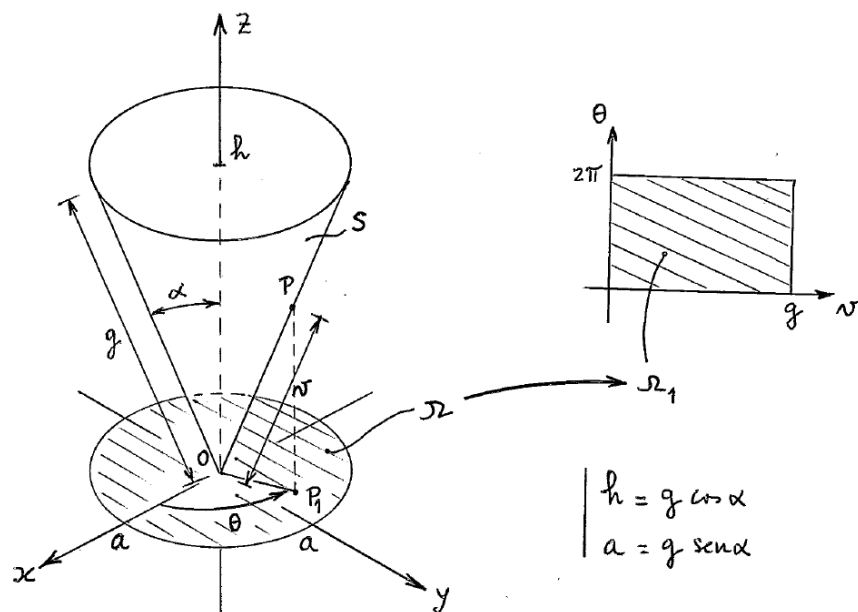
$$x = a\cos(\theta)\sin(\phi), \quad y = a\sin(\theta)\sin(\phi), \quad z = a\cos(\phi)$$



Convém notar que a equação vectorial (10) satisfaz a equação cartesiana da superfície esférica:

$$\begin{aligned} x^2 + y^2 + z^2 &= a^2 \cos^2(\theta) \sin^2(\phi) + a^2 \sin^2(\theta) \sin^2(\phi) + a^2 \cos^2(\phi) = \\ &= a^2 [\cos^2(\theta) + \sin^2(\theta)] \sin^2(\phi) + a^2 \cos^2(\phi) = a^2 \end{aligned}$$

Exemplo 6: A superfície S da figura seguinte corresponde a um *cone de revolução*, em que g é o comprimento da sua geratriz e α é o ângulo que esta faz com o eixo do cone (eixo dos zz).



A sua projecção, no plano xOy , é a *região circular*

$$\Omega : 0 \leq x^2 + y^2 \leq a^2$$

em que $a = g(\sin \alpha)$ é o raio do círculo (base do cone) situado à cota $z = h = g(\cos \alpha)$ (altura do cone).

Seja o ponto $P = (x, y, z)$ de S à distância v da origem (vértice do cone), distância medida sobre a geratriz que passa em P , e $P_1 = (x, y, 0)$ o ponto que corresponde à projecção ortogonal de P sobre o plano xOy .

Nestas condições sabe-se que:

$$\|\overrightarrow{OP}\| = v \text{ e } \|\overrightarrow{OP_1}\| = v \sin(\alpha)$$

Designando por θ o ângulo que $\overrightarrow{OP_1}$ faz com o semieixo positivo dos xx , as coordenadas de P são:

$$x = v \cos(\theta) \sin(\alpha) \text{ , } y = v \sin(\theta) \sin(\alpha) \text{ , } z = v \cos(\alpha) \quad (12)$$

Assim, a superfície S pode ser parametrizada sob a forma:

$$\vec{r}(\theta, v) = v \sin(\alpha) \cos(\theta) \vec{i} + v \sin(\alpha) \sin(\theta) \vec{j} + v \cos(\alpha) \vec{k} \text{ , } (\theta, v) \in \Omega_1 \quad (13)$$

$$\Omega_1 : 0 \leq \theta \leq 2\pi \text{ , } 0 \leq v \leq g \text{ (região rectangular)} \quad (14)$$

Se $\alpha = \pi / 4$, as expressões (12) podem ser reescritas como

$$x = \frac{\sqrt{2}v}{2} \cos(\theta) \text{ , } y = \frac{\sqrt{2}v}{2} \sin(\theta) \text{ , } z = \frac{\sqrt{2}v}{2}$$

pelo que a superfície S pode ser parametrizada através de

$$\vec{r}(\theta, u) = u \cos(\theta) \vec{i} + u \sin(\theta) \vec{j} + u \vec{k} \text{ , } (\theta, u) \in \Omega_2 \quad (15)$$

$$\Omega_2 : 0 \leq \theta \leq 2\pi \text{ , } 0 \leq u \leq h \text{ (região rectangular)} \quad (16)$$

e $h = \sqrt{2}g/2$ é a altura do cone. Neste caso, a superfície do cone é o gráfico da função

$$z = f(x, y) = \sqrt{x^2 + y^2} \text{ , } (x, y) \in \Omega_3$$

$$\Omega_3 : 0 \leq x^2 + y^2 \leq h^2 \text{ (região circular)} \quad (17)$$

sendo ainda possível adoptar a seguinte parametrização para S :

$$\vec{r}(x, y) = x \vec{i} + y \vec{j} + \sqrt{x^2 + y^2} \vec{k} \text{ , } (x, y) \in \Omega_3 \quad (18)$$

Produto vectorial fundamental

- Seja a superfície, S , parametrizada através de uma função vectorial diferenciável

$$\vec{r}(u, v) = x(u, v)\vec{i} + y(u, v)\vec{j} + z(u, v)\vec{k} \quad (19)$$

onde (u, v) toma valores numa dada região, Ω , do plano uOv , para simplificar a análise admita-se que Ω é a região rectangular:

$$\Omega : a < u < b, c < v < d$$

Se a função (19) é injectiva, então S é designada por *superfície simples*.

Considerem-se os vectores:

$$\vec{r}'_u = \frac{\partial \vec{r}}{\partial u} = \frac{\partial x}{\partial u} \vec{i} + \frac{\partial y}{\partial u} \vec{j} + \frac{\partial z}{\partial u} \vec{k} \quad (20)$$

$$\vec{r}'_v = \frac{\partial \vec{r}}{\partial v} = \frac{\partial x}{\partial v} \vec{i} + \frac{\partial y}{\partial v} \vec{j} + \frac{\partial z}{\partial v} \vec{k} \quad (21)$$

O vector resultante do produto vectorial

$$\vec{N}(u, v) = \vec{r}'_u \times \vec{r}'_v = \frac{\partial \vec{r}}{\partial u} \times \frac{\partial \vec{r}}{\partial v}$$

que se admite como sendo diferente do vector nulo, chama-se *produto vectorial fundamental* da superfície S correspondente à parametrização $\vec{r}(u, v)$.

- Se $(u_0, v_0) \in \Omega$, tal que (20) e (21) são funções contínuas e $\vec{N}(u_0, v_0) \neq \vec{0}$, então $\vec{r}(u_0, v_0)$ é um *ponto regular* da superfície S ; além disso, diz-se que S é uma *superfície regular*, se todos os seus pontos são regulares.

- Seja $(u_0, v_0) \in \Omega$, tal que:

$$\vec{N}(u_0, v_0) = \vec{r}'_u(u_0, v_0) \times \vec{r}'_v(u_0, v_0) \neq \vec{0} \quad (22)$$

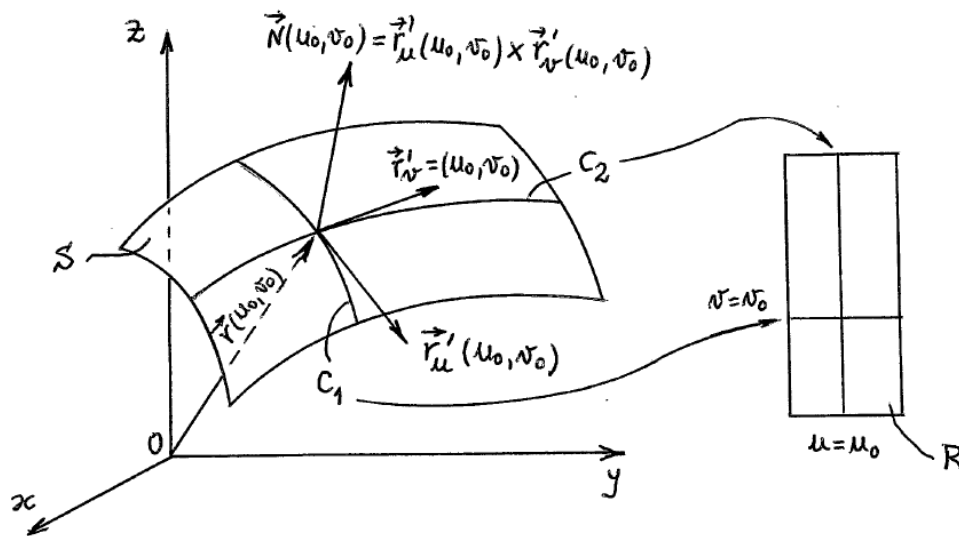
A função vectorial

$$\vec{r}_1(u) = \vec{r}(u, v_0), \quad u \in (a, b)$$

define uma curva diferenciável, C_1 , que está na superfície S . Por outro lado, a função vectorial

$$\vec{r}_2(v) = \vec{r}(u_0, v), \quad v \in (c, d)$$

define uma curva diferenciável, C_2 , que também está na superfície S .



As curvas C_1 e C_2 passam pelo ponto $\vec{r}(u_0, v_0)$ da superfície, sendo

$$\vec{r}'_1(u_0) = \vec{r}'_u(u_0, v_0)$$

o *vector tangente* à curva C_1 no ponto $\vec{r}(u_0, v_0)$ e

$$\vec{r}'_2(v_0) = \vec{r}'_v(u_0, v_0)$$

o *vector tangente* à curva C_2 no ponto $\vec{r}(u_0, v_0)$.

Assim, o produto vectorial fundamental (22) é perpendicular a ambas as curvas no ponto $\vec{r}(u_0, v_0)$, pelo que, não sendo nulo, pode ser considerado como um vector normal à superfície S (bem como ao *plano tangente* a S) neste ponto.

- O produto vectorial fundamental pode ainda ser apresentado sob a forma:

$$\vec{N} = \frac{\partial \vec{r}}{\partial u} \times \frac{\partial \vec{r}}{\partial v} = \begin{vmatrix} \vec{i} & \vec{j} & \vec{k} \\ \frac{\partial x}{\partial u} & \frac{\partial y}{\partial u} & \frac{\partial z}{\partial u} \\ \frac{\partial x}{\partial v} & \frac{\partial y}{\partial v} & \frac{\partial z}{\partial v} \end{vmatrix} = \left(\frac{\partial(y,z)}{\partial(u,v)}, \frac{\partial(z,x)}{\partial(u,v)}, \frac{\partial(x,y)}{\partial(u,v)} \right)$$

Exemplo 7: O produto vectorial fundamental do *plano* do exemplo 2 parametrizado em (1) é:

$$\vec{r}'_u(u, v) = \vec{a} \quad , \quad \vec{r}'_v(u, v) = \vec{b}$$

$$\vec{N}(u, v) = \vec{a} \times \vec{b}$$

Trata-se, como é óbvio, de um vector normal ao plano.

Exemplo 8: O produto vectorial fundamental do *cilindro de revolução* do exemplo 3 parametrizado em (3) e (4) é:

$$\vec{r}'_\theta(\theta, v) = -a \sin(\theta) \vec{i} + a \cos(\theta) \vec{j} \quad , \quad \vec{r}'_v(\theta, v) = \vec{k}$$

$$\vec{N}(\theta, v) = \begin{vmatrix} \vec{i} & \vec{j} & \vec{k} \\ -a \sin(\theta) & a \cos(\theta) & 0 \\ 0 & 0 & 1 \end{vmatrix} = a \cos(\theta) \vec{i} + a \sin(\theta) \vec{j} \quad (23)$$

Exemplo 9: O produto vectorial fundamental do *paraboloide de revolução* do exemplo 4 parametrizado em (6) e (7) é:

$$\begin{aligned}\vec{r}'_u(u,v) &= \vec{i} + 2au\vec{k} \quad , \quad \vec{r}'_v(u,v) = \vec{j} + 2av\vec{k} \\ \vec{N}(u,v) &= \begin{vmatrix} \vec{i} & \vec{j} & \vec{k} \\ 1 & 0 & 2au \\ 0 & 1 & 2av \end{vmatrix} = -2au\vec{i} - 2av\vec{j} + \vec{k}\end{aligned}\quad (24)$$

Exemplo 10: O produto vectorial fundamental da *superfície esférica* do exemplo 5 parametrizada em (10) e (11) é:

$$\begin{aligned}\vec{r}'_\theta(\theta,\phi) &= -a \sin(\theta)\sin(\phi)\vec{i} + a\cos(\theta)\sin(\phi)\vec{j} \\ \vec{r}'_\phi(\theta,\phi) &= a\cos(\theta)\cos(\phi)\vec{i} + a \sin(\theta)\cos(\phi)\vec{j} - a \sin(\phi)\vec{k} \\ \vec{N}(\theta,\phi) &= -a \sin(\phi) \begin{vmatrix} \vec{i} & \vec{j} & \vec{k} \\ \sin(\theta) & -\cos(\theta) & 0 \\ a\cos(\theta)\cos(\phi) & a \sin(\theta)\cos(\phi) & -a \sin(\phi) \end{vmatrix} = \\ &= -a \sin(\phi) \left(a\cos(\theta)\sin(\phi)\vec{i} + a \sin(\theta)\sin(\phi)\vec{j} + a\cos(\phi)\vec{k} \right) = \\ &= -a \sin(\phi)\vec{r}(\theta,\phi)\end{aligned}\quad (25)$$

Neste caso, o produto vectorial fundamental é paralelo ao vector $\vec{r}(\theta,\phi)$, ou seja, tem a direcção radial.

Exemplo 11: O produto vectorial fundamental do cone de revolução do exemplo 6 parametrizado em (13) e (14) é:

$$\vec{r}'_{\theta}(\theta, v) = -v \sin(\alpha) \sin(\theta) \vec{i} + v \sin(\alpha) \cos(\theta) \vec{j}$$

$$\vec{r}'_v(\theta, v) = \sin(\alpha) \cos(\theta) \vec{i} + \sin(\alpha) \sin(\theta) \vec{j} + \cos(\alpha) \vec{k}$$

$$\begin{aligned} \vec{N}(\theta, v) &= v \sin(\alpha) \begin{vmatrix} \vec{i} & \vec{j} & \vec{k} \\ -\sin(\theta) & \cos(\theta) & 0 \\ \sin(\alpha) \cos(\theta) & \sin(\alpha) \sin(\theta) & \cos(\alpha) \end{vmatrix} = \\ &= v \sin(\alpha) (\cos(\alpha) \cos(\theta) \vec{i} + \cos(\alpha) \sin(\theta) \vec{j} - \sin(\alpha) \vec{k}) \end{aligned}$$

Se $\alpha = \pi / 4$ e for considerada a parametrização (15) e (16) para a superfície o produto vectorial fundamental é dado por:

$$\vec{r}'_{\theta}(\theta, u) = -u \sin(\theta) \vec{i} + u \cos(\theta) \vec{j}, \quad \vec{r}'_u(\theta, u) = \cos(\theta) \vec{i} + \sin(\theta) \vec{j} + \vec{k}$$

$$\vec{N}(\theta, u) = u \begin{vmatrix} \vec{i} & \vec{j} & \vec{k} \\ -\sin(\theta) & \cos(\theta) & 0 \\ \cos(\theta) & \sin(\theta) & 1 \end{vmatrix} = u (\cos(\theta) \vec{i} + \sin(\theta) \vec{j} - \vec{k})$$

Por outro lado, se $\alpha = \pi / 4$ e for considerada a parametrização (17) e (18) obtém-se:

$$\vec{r}'_x(x, y) = \vec{i} + \frac{x}{\sqrt{x^2 + y^2}} \vec{k}, \quad \vec{r}'_y(x, y) = \vec{j} + \frac{y}{\sqrt{x^2 + y^2}} \vec{k}$$

$$\vec{N}(x, y) = \begin{vmatrix} \vec{i} & \vec{j} & \vec{k} \\ 1 & 0 & x(x^2 + y^2)^{-1/2} \\ 0 & 1 & y(x^2 + y^2)^{-1/2} \end{vmatrix} = -\frac{x}{\sqrt{x^2 + y^2}} \vec{i} - \frac{y}{\sqrt{x^2 + y^2}} \vec{j} + \vec{k} \quad (26)$$

Área de uma superfície parametrizada

- Vimos no exemplo 2 que a função vectorial linear

$$\vec{r}(u, v) = P + u\vec{a} + v\vec{b}, \quad (u, v) \in \mathbb{R}^2$$

onde \vec{a} e \vec{b} são vectores linearmente independentes, parametriza um plano, p .

Linhas horizontais no plano uOv , com equações do tipo $v = v_0$, são transformadas em linhas paralelas ao vector \vec{a} :

$$\vec{r}(u, v_0) = (P + v_0\vec{b}) + u\vec{a}, \quad u \in \mathbb{R}$$

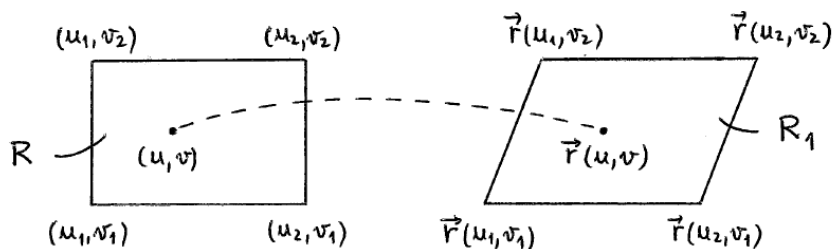
Linhas verticais no plano uOv , com equações do tipo $u = u_0$, são transformadas em linhas paralelas ao vector \vec{b} :

$$\vec{r}(u_0, v) = (P + u_0\vec{a}) + v\vec{b}, \quad v \in \mathbb{R}$$

Assim, um rectângulo R no plano uOv com lados paralelos ao eixo dos uu e ao eixo dos vv ,

$$R : u_1 \leq u \leq u_2, \quad v_1 \leq v \leq v_2$$

é transformado num paralelogramo, R_1 , sobre o plano p , cujos lados são paralelos às direcções definidas pelos vectores \vec{a} e \vec{b} .



Os lados do paralelogramo são definidos pelos vectores:

$$\vec{r}(u_2, v_1) - \vec{r}(u_1, v_1) = (u_2 - u_1)\vec{a}$$

$$\vec{r}(u_1, v_2) - \vec{r}(u_1, v_1) = (v_2 - v_1)\vec{b}$$

A área do paralelogramo, $A(R_1)$ é dada por

$$A(R_1) = \|(u_2 - u_1)\vec{a} \times (v_2 - v_1)\vec{b}\| = \|\vec{a} \times \vec{b}\| A(R)$$

onde

$$A(R) = (u_2 - u_1)(v_2 - v_1)$$

é a área do rectângulo R .

- Generalizando, considere-se uma superfície, S , parametrizada por uma função vectorial contínua e diferenciável

$$\vec{r}(u, v), (u, v) \in \Omega$$

admitindo-se que Ω é uma região do plano uOv e que a função $\vec{r}(u, v)$ é injectiva no interior de Ω .

Admita-se, ainda, que o produto vectorial fundamental

$$\vec{N}(u, v) = \vec{r}'_u \times \vec{r}'_v = \frac{\partial \vec{r}}{\partial u} \times \frac{\partial \vec{r}}{\partial v}$$

é diferente do vector nulo no interior de Ω .

Assim, um rectângulo R em Ω de área $A(R) = \Delta u \Delta v$ é transformado, sobre a superfície S , num paralelogramo curvilíneo, R_1 , de área aproximada:

$$A(R_1) \simeq \left\| \Delta u \frac{\partial \vec{r}}{\partial u} \times \Delta v \frac{\partial \vec{r}}{\partial v} \right\| = \left\| \frac{\partial \vec{r}}{\partial u} \times \frac{\partial \vec{r}}{\partial v} \right\| \Delta u \Delta v$$

Então:

$$dS = \left\| \frac{\partial \vec{r}}{\partial u} \times \frac{\partial \vec{r}}{\partial v} \right\| du dv = \|\vec{N}(u, v)\| du dv$$

Portanto, a área da superfície S , $A(S)$, toma o valor do integral duplo:

$$A(S) = \iint_{\Omega} \|\vec{N}(u, v)\| du dv$$

Exemplo 12: Seja o *cilindro de revolução* definido em (2), com $a = 2$ e $h = 1$. Atendendo a (3), (4) e (23), resulta:

$$\vec{r}(\theta, v) = 2\cos(\theta)\vec{i} + 2\sin(\theta)\vec{j} + v\vec{k}, (\theta, v) \in \Omega$$

$$\Omega : 0 \leq \theta \leq 2\pi, 0 \leq v \leq 1$$

$$\vec{N}(\theta, v) = 2\cos(\theta)\vec{i} + 2\sin(\theta)\vec{j} \Rightarrow \|\vec{N}(\theta, v)\| = 2$$

Assim, a área da superfície S é:

$$A(S) = \iint_{\Omega} \|\vec{N}(\theta, v)\| d\theta dv = 2 \int_0^{2\pi} \int_0^1 d\theta dv = 4\pi$$

Exemplo 13: Seja o *paraboloide de revolução* definido em (5), com $a = 2$ e $h = 2$. Atendendo a (6), (7) e (24), resulta:

$$\vec{r}(u, v) = u\vec{i} + v\vec{j} + 2(u^2 + v^2)\vec{k}, (u, v) \in \Omega$$

$$\Omega : 0 \leq u^2 + v^2 \leq 1$$

$$\vec{N}(u, v) = -4u\vec{i} - 4v\vec{j} + \vec{k} \Rightarrow \|\vec{N}(u, v)\| = \sqrt{1 + 16(u^2 + v^2)}$$

Assim, a área da superfície S é:

$$A(S) = \iint_{\Omega} \|\vec{N}(u, v)\| du dv = \iint_{\Omega} \sqrt{1 + 16(u^2 + v^2)} du dv$$

Considerando (coordenadas polares)

$$u = r \cos(\theta) \quad , \quad v = r \sin(\theta) \quad , \quad dudv = r \, dr d\theta$$

então

$$\|\vec{N}(r, \theta)\| = \sqrt{1 + 16r^2} \quad , \quad (r, \theta) \in \Omega_1$$

$$\Omega_1 : 0 \leq \theta \leq 2\pi \quad , \quad 0 \leq r \leq 1$$

e, portanto:

$$\begin{aligned} A(S) &= \iint_{\Omega} \sqrt{1 + 16(u^2 + v^2)} \, dudv = \int_0^{2\pi} \int_0^1 r \sqrt{1 + 16r^2} \, dr d\theta = \\ &= 2\pi \int_0^1 r \sqrt{1 + 16r^2} \, dr = \frac{\pi}{16} \int_0^1 32r \sqrt{1 + 16r^2} \, dr = \\ &= \frac{\pi}{16} \frac{2}{3} \left[(1 + 16r^2)^{3/2} \right]_0^1 = \frac{\pi}{24} (17\sqrt{17} - 1) \end{aligned}$$

Exemplo 14: Seja a superfície esférica de raio a parametrizada em (10) e (11). Notando que

$$\|\vec{r}(\theta, \phi)\| = \|a \cos(\theta) \sin(\phi) \vec{i} + a \sin(\theta) \sin(\phi) \vec{j} + a \cos(\phi) \vec{k}\| = a$$

atendendo a (25), resulta:

$$\vec{N}(\theta, \phi) = -a \sin(\phi) \vec{r}(\theta, \phi) \Rightarrow \|\vec{N}(\theta, \phi)\| = a |\sin(\phi)| \|\vec{r}(\theta, \phi)\| = a^2 \sin(\phi)$$

Assim, a área da superfície S é:

$$\begin{aligned} A(S) &= \iint_R \|\vec{N}(\theta, \phi)\| \, d\theta d\phi = a^2 \int_0^\pi \sin(\phi) \int_0^{2\pi} d\theta d\phi = \\ &= 2\pi a^2 \int_0^\pi \sin(\phi) \, d\phi = 2\pi a^2 [-\cos(\phi)]_0^\pi = 4\pi a^2 \end{aligned}$$

Exemplo 15: Seja o *cone de revolução* parametrizado em (17) e (18), com $h = 2$:

$$\vec{r}(x, y) = x\vec{i} + y\vec{j} + \sqrt{x^2 + y^2}\vec{k}, (x, y) \in \Omega_3$$

$$\Omega_3 : 0 \leq x^2 + y^2 \leq 4$$

Atendendo a (26), resulta:

$$\|\vec{N}(x, y)\| = \left\| -\frac{x}{\sqrt{x^2 + y^2}}\vec{i} - \frac{y}{\sqrt{x^2 + y^2}}\vec{j} + \vec{k} \right\| = \left[\frac{x^2}{x^2 + y^2} + \frac{y^2}{x^2 + y^2} + 1 \right]^{1/2} = \sqrt{2}$$

Assim, a área da superfície S é:

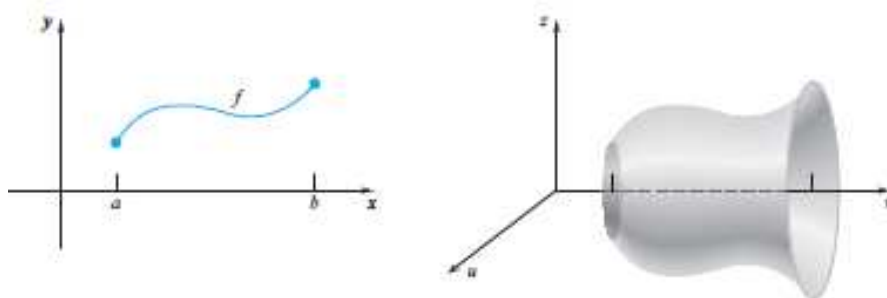
$$A(S) = \iint_{\Omega_3} \|\vec{N}(x, y)\| dx dy = \sqrt{2} \iint_{\Omega_3} dx dy = \sqrt{2} A(\Omega_3) = 4\sqrt{2}\pi$$

Área de uma superfície: casos particulares

- O cálculo da *área de uma superfície de revolução* pode ser feito recorrendo a um processo alternativo. Seja S uma superfície gerada pela rotação, em torno do eixo dos xx , do gráfico da função:

$$y = f(x), x \in [a, b]$$

Admite-se que $f(x) > 0$ e continuamente diferenciável.



A superfície S pode ser parametrizada sob a forma:

$$\vec{r}(u, v) = v\vec{i} + f(v)\cos(u)\vec{j} + f(v)\sin(u)\vec{k}, \quad (u, v) \in \Omega$$

em que Ω é a *região rectangular* do plano uOv :

$$\Omega : 0 \leq u \leq 2\pi, \quad a \leq v \leq b$$

Daqui resulta

$$\vec{r}'_u(u, v) = -f(v)\sin(u)\vec{j} + f(v)\cos(u)\vec{k}$$

$$\vec{r}'_v(u, v) = \vec{i} + f'(v)\cos(u)\vec{j} + f'(v)\sin(u)\vec{k}$$

pelo que o produto vectorial fundamental é:

$$\begin{aligned} \vec{N}(u, v) = \vec{r}'_u \times \vec{r}'_v &= \begin{vmatrix} \vec{i} & \vec{j} & \vec{k} \\ 0 & -f(v)\sin(u) & f(v)\cos(u) \\ 1 & f'(v)\cos(u) & f'(v)\sin(u) \end{vmatrix} = \\ &= -f(v)f'(v)\vec{i} + f(v)\cos(u)\vec{j} + f(v)\sin(u)\vec{k} \end{aligned}$$

Notando que

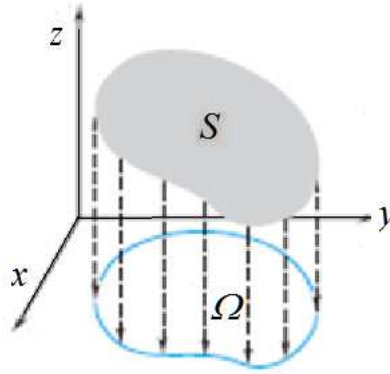
$$\|\vec{N}(u, v)\| = f(v)\sqrt{1 + [f'(v)]^2}$$

a área da superfície S é dada por:

$$\begin{aligned} A(S) &= \iint_{\Omega} \|\vec{N}(u, v)\| \, du \, dv = \iint_{\Omega} f(v)\sqrt{1 + [f'(v)]^2} \, du \, dv = \\ &= \int_0^{2\pi} \int_a^b f(v)\sqrt{1 + [f'(v)]^2} \, dv \, du = 2\pi \int_a^b f(v)\sqrt{1 + [f'(v)]^2} \, dv \end{aligned}$$

- Seja a superfície S que é o gráfico da função:

$$z = f(x, y), (x, y) \in \Omega$$



Neste caso, a superfície pode ser parametrizada através da função:

$$\vec{r}(x, y) = x\vec{i} + y\vec{j} + f(x, y)\vec{k}, (x, y) \in \Omega$$

Então

$$\vec{r}'_x(x, y) = \vec{i} + f_x(x, y)\vec{k}, \quad \vec{r}'_y(x, y) = \vec{j} + f_y(x, y)\vec{k}$$

pelo que o produto vectorial fundamental é:

$$\vec{N}(x, y) = \vec{r}'_x \times \vec{r}'_y = \begin{vmatrix} \vec{i} & \vec{j} & \vec{k} \\ 1 & 0 & f_x(x, y) \\ 0 & 1 & f_y(x, y) \end{vmatrix} = -f_x(x, y)\vec{i} - f_y(x, y)\vec{j} + \vec{k}$$

Sabendo que

$$\|\vec{N}(x, y)\| = \sqrt{1 + [f_x(x, y)]^2 + [f_y(x, y)]^2}$$

a área da superfície S é dada por:

$$A(S) = \iint_{\Omega} \|\vec{N}(x, y)\| dx dy = \iint_{\Omega} \sqrt{1 + [f_x(x, y)]^2 + [f_y(x, y)]^2} dx dy \quad (27)$$

Exemplo 16: Calcule a área da superfície, S , do *cilindro parabólico* $z = y^2$, cuja projecção no plano xOy é o triângulo com vértices nos pontos $O = (0,0)$, $P = (0,1)$ e $Q = (1,1)$.

Solução:

A superfície S é o gráfico da função

$$z = f(x, y) = y^2, \quad (x, y) \in \Omega$$

em que Ω é a *região triangular* do plano xOy definida por:

$$\Omega : 0 \leq y \leq 1, \quad 0 \leq x \leq y$$

Atendendo a (27) e notando que

$$f_x(x, y) = 0, \quad f_y(x, y) = 2y$$

a área da superfície S é:

$$\begin{aligned} A(S) &= \iint_{\Omega} \sqrt{1 + 4y^2} \, dx dy = \int_0^1 \int_0^y \sqrt{1 + 4y^2} \, dx dy = \\ &= \int_0^1 y \sqrt{1 + 4y^2} \, dy = \frac{1}{8} \int_0^1 8y \sqrt{1 + 4y^2} \, dy = \\ &= \frac{1}{8} \frac{2}{3} \left[(1 + 4y^2)^{3/2} \right]_0^1 = \frac{1}{12} (5\sqrt{5} - 1) \end{aligned}$$

O operador vectorial diferencial ∇ (nabla)

- O operador vectorial diferencial ∇ é definido por:

$$\nabla = \frac{\partial}{\partial x} \vec{i} + \frac{\partial}{\partial y} \vec{j} + \frac{\partial}{\partial z} \vec{k}$$

Trata-se de um operador que tanto pode ser aplicado a *campos escalares* como a *campos vectoriais*.

Gradiente de um campo escalar, ∇f

- Se $f(x, y, z)$ é um *campo escalar*, então

$$\nabla f(x, y, z) = \left(\frac{\partial}{\partial x} \vec{i} + \frac{\partial}{\partial y} \vec{j} + \frac{\partial}{\partial z} \vec{k} \right) f(x, y, z) = \frac{\partial f}{\partial x} \vec{i} + \frac{\partial f}{\partial y} \vec{j} + \frac{\partial f}{\partial z} \vec{k}$$

designa o *gradiente de f em (x, y, z)* . A função resultante, $\nabla f(x, y, z)$, é um campo vectorial e pode ser usada, por exemplo, para calcular a derivada direccional de f num ponto, tal como vimos no capítulo 2.

Exemplo 17: O gradiente do campo escalar

$$f(x, y, z) = x^2 z + xyz^2 - 2yz + 1$$

é o campo vectorial:

$$\nabla f(x, y, z) = (2xz + yz^2) \vec{i} + (xz^2 - 2z) \vec{j} + (x^2 + 2xyz - 2y) \vec{k}$$

Divergência de um campo vectorial, $\nabla \cdot \vec{f}$

- Seja o campo vectorial

$$\vec{v}(x, y, z) = v_1(x, y, z)\vec{i} + v_2(x, y, z)\vec{j} + v_3(x, y, z)\vec{k}$$

O campo escalar dado por

$$\nabla \cdot \vec{v} = \text{div } \vec{v} = \frac{\partial v_1}{\partial x} + \frac{\partial v_2}{\partial y} + \frac{\partial v_3}{\partial z}$$

chama-se *divergência de $\vec{v}(x, y, z)$* .

Exemplo 18: A divergência do campo vectorial

$$\vec{v}(x, y, z) = \alpha \vec{r}(x, y, z) = \alpha x\vec{i} + \alpha y\vec{j} + \alpha z\vec{k} \quad (28)$$

é o campo escalar:

$$\nabla \cdot \vec{v} = \alpha \frac{\partial x}{\partial x} + \alpha \frac{\partial y}{\partial y} + \alpha \frac{\partial z}{\partial z} = 3\alpha$$

Exemplo 19: Seja o campo vectorial:

$$\begin{aligned} \vec{f}(x, y, z) &= f_1(x, y, z)\vec{i} + f_2(x, y, z)\vec{j} + f_3(x, y, z)\vec{k} = \\ &= -\frac{y}{\sqrt{x^2 + y^2}}\vec{i} + \frac{x}{\sqrt{x^2 + y^2}}\vec{j} + 0\vec{k} \end{aligned} \quad (29)$$

Calculando as derivadas parciais

$$\frac{\partial f_1}{\partial x} = \frac{xy}{\sqrt{(x^2 + y^2)^3}} \quad (30)$$

$$\frac{\partial f_2}{\partial y} = -\frac{xy}{\sqrt{(x^2 + y^2)^3}} \quad (31)$$

obtem-se para a divergência:

$$\nabla \cdot \vec{f} = \frac{\partial f_1}{\partial x} + \frac{\partial f_2}{\partial y} + \frac{\partial f_3}{\partial z} = 0 \quad (32)$$

Rotacional de um campo vectorial, $\nabla \times \vec{f}$

- Seja o campo vectorial:

$$\vec{v}(x, y, z) = v_1(x, y, z)\vec{i} + v_2(x, y, z)\vec{j} + v_3(x, y, z)\vec{k}$$

O campo vectorial dado por

$$\begin{aligned} \nabla \times \vec{v} = \text{rot } \vec{v} &= \begin{vmatrix} \vec{i} & \vec{j} & \vec{k} \\ \frac{\partial}{\partial x} & \frac{\partial}{\partial y} & \frac{\partial}{\partial z} \\ v_1 & v_2 & v_3 \end{vmatrix} = \\ &= \left(\frac{\partial v_3}{\partial y} - \frac{\partial v_2}{\partial z} \right) \vec{i} + \left(\frac{\partial v_1}{\partial z} - \frac{\partial v_3}{\partial x} \right) \vec{j} + \left(\frac{\partial v_2}{\partial x} - \frac{\partial v_1}{\partial y} \right) \vec{k} \end{aligned}$$

chama-se *rotacional de* $\vec{v}(x, y, z)$.

Exemplo 20: Seja o campo vectorial $\vec{f}(x, y, z)$ definido em (29). Sabendo que

$$\frac{\partial f_1}{\partial y} = \frac{-1}{(x^2 + y^2)^{1/2}} + \frac{y^2}{(x^2 + y^2)^{3/2}} \quad (33)$$

$$\frac{\partial f_2}{\partial x} = \frac{1}{(x^2 + y^2)^{1/2}} - \frac{x^2}{(x^2 + y^2)^{3/2}} \quad (34)$$

o rotacional de $\vec{f}(x, y, z)$ é:

$$\nabla \times \vec{f} = \begin{vmatrix} \vec{i} & \vec{j} & \vec{k} \\ \frac{\partial}{\partial x} & \frac{\partial}{\partial y} & \frac{\partial}{\partial z} \\ f_1 & f_2 & 0 \end{vmatrix} = \left(\frac{\partial f_2}{\partial x} - \frac{\partial f_1}{\partial y} \right) \vec{k} = \frac{1}{\sqrt{x^2 + y^2}} \vec{k} \quad (35)$$

- A propriedade apresentada no teorema seguinte estabelece uma condição, alternativa à enunciada no teorema 14 do capítulo 2, para que um campo vectorial, \vec{v} , seja gradiente, $\vec{v} = \nabla f$.

Teorema 1: O rotacional de um gradiente é o vector nulo, isto é, se $f(x, y, z)$ é um campo escalar com derivadas parciais de segunda ordem contínuas, então:

$$\nabla \times (\nabla f) = \vec{0}$$

Exemplo 21: O rotacional do campo vectorial $\vec{v}(x, y, z)$ definido em (28) é:

$$\nabla \times \vec{v} = \alpha \begin{vmatrix} \vec{i} & \vec{j} & \vec{k} \\ \frac{\partial}{\partial x} & \frac{\partial}{\partial y} & \frac{\partial}{\partial z} \\ x & y & z \end{vmatrix} = \vec{0}$$

Pode-se, então, concluir que o campo vectorial é gradiente.

Teorema 2: A divergência de um rotacional é nula, isto é, se as componentes do campo vectorial $\vec{v}(x, y, z)$ possuem derivadas parciais de segunda ordem contínuas, então:

$$\nabla \cdot (\nabla \times \vec{v}) = 0$$

Teorema 3: Sendo $f(x, y, z)$ um campo escalar e $\vec{v}(x, y, z)$ um campo vectorial, então:

$$\nabla \cdot (f \vec{v}) = (\nabla f) \cdot \vec{v} + f(\nabla \cdot \vec{v})$$

$$\nabla \times (f \vec{v}) = (\nabla f) \times \vec{v} + f(\nabla \times \vec{v})$$

Teorema 4: Seja o campo vectorial $\vec{r}(x, y, z) = x\vec{i} + y\vec{j} + z\vec{k}$ e $r = \|\vec{r}\|$. Se $n \in \mathbb{N}$, então para todo o $\vec{r} \neq \vec{0}$ verifica-se:

$$\nabla \cdot (r^n \vec{r}) = (n+3)r^n$$

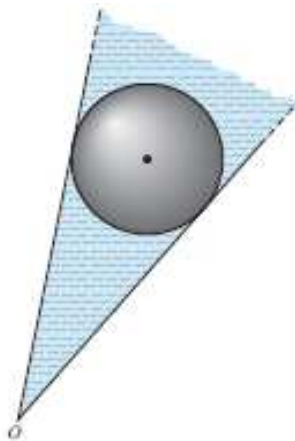
$$\nabla \times (r^n \vec{r}) = \vec{0}$$

- No capítulo 7 os operadores $\nabla \cdot \vec{v}$ e $\nabla \times \vec{v}$ são aplicados no cálculo do *fluxo* (*teorema da divergência*, ou *de Gauss*, e *teorema de Stokes*).

Interpretação da divergência e do rotacional

- Para que se possa facilmente entender o significado da divergência e do rotacional, admita-se que $\vec{v}(x,y,z)$ traduz o campo de velocidades de um fluido em movimento na vizinhança de um ponto P .
A divergência de \vec{v} em P dá-nos uma indicação da tendência que o fluido tem em acumular-se junto a P (*divergência negativa*) ou de afastar-se de P (*divergência positiva*). No primeiro caso diz-se que P comporta-se como um “sorvedouro”, enquanto, no segundo caso, P designa-se por “fonte”.
Por outro lado, o rotacional de \vec{v} em P mede a tendência do fluido em rodar em torno de P .

Exemplo 22: O campo vectorial $\vec{v}(x,y,z)$ definido em (28) pode ser visto como o campo de velocidades de um fluido com um movimento radial: na direcção da origem se $\alpha < 0$ e afastando-se da origem se $\alpha > 0$. Sabe-se que $\nabla \cdot \vec{v} = 3\alpha$ (exemplo 18) e $\nabla \times \vec{v} = \vec{0}$ (exemplo 21).



Na figura anterior mostra-se uma vizinhança esférica de um ponto (x,y,z) e um cone com vértice na origem e tangente à fronteira da vizinhança referida.

Nestas condições, todo o fluido que está no interior do cone mantém-se dentro do cone (o movimento é radial) e a sua velocidade escalar

$$v(x, y, z) = \|\vec{v}(x, y, z)\| = |\alpha| \sqrt{x^2 + y^2 + z^2}$$

é proporcional à distância à origem.

Se a divergência $\nabla \cdot \vec{v} = 3\alpha < 0$, então $\alpha < 0$ e o fluido move-se na direcção da origem; a vizinhança do ponto (x, y, z) “*ganha fluido*”, já que a quantidade de fluido que entra é maior do que a que sai (a área da secção de entrada é maior do que a de saída e a velocidade à entrada é maior do que à saída).

Contudo, se a divergência $\nabla \cdot \vec{v} = 3\alpha > 0$, então $\alpha > 0$ e o fluido move-se a partir da origem; a vizinhança do ponto (x, y, z) “*perde fluido*”, já que a quantidade de fluido que entra é menor do que a que sai (a área da secção de entrada é menor do que a de saída e a velocidade à entrada é menor do que à saída).

Por outro lado, sendo o movimento radial, o fluido não estará sujeito a qualquer movimento de rotação (rotacional nulo).

Exemplo 23: Admita-se que o campo vectorial

$$\vec{v}(x, y, z) = -\omega y \vec{i} + \omega x \vec{j} + 0 \vec{k}, \quad \omega > 0$$

define o campo de velocidades de um fluido, tal que

$$\nabla \cdot \vec{v} = -\omega \frac{\partial y}{\partial x} + \omega \frac{\partial x}{\partial y} = 0$$

$$\nabla \times \vec{v} = \omega \begin{vmatrix} \vec{i} & \vec{j} & \vec{k} \\ \frac{\partial}{\partial x} & \frac{\partial}{\partial y} & \frac{\partial}{\partial z} \\ -y & x & 0 \end{vmatrix} = 2\omega \vec{k}$$

O campo vectorial $\vec{v}(x, y, z)$ exprime o campo de velocidades de um movimento de rotação uniforme, em torno do eixo dos zz e no sentido directo.

Pode-se verificar que, em cada ponto, o vector velocidade é perpendicular ao vector de posição

$$\vec{v} \cdot \vec{r} = (-\omega y\vec{i} + \omega x\vec{j}) \cdot (x\vec{i} + y\vec{j} + z\vec{k}) = 0$$

e que a velocidade escalar é proporcional ao raio de rotação, R :

$$v = \|\vec{v}\| = \omega\sqrt{y^2 + x^2} = \omega R$$

Além disso, o rotacional de $\vec{v}(x,y,z)$ é duas vezes o vector velocidade angular, $\vec{\omega} = \omega\vec{k}$.

Neste caso, nenhuma vizinhança de um ponto “*ganha*” ou “*perde*” fluido, já que a divergência de $\vec{v}(x,y,z)$ é nula.

Laplaciano de um campo escalar, $\nabla^2 f$

- Seja $f(x,y,z)$ um *campo escalar*. O campo escalar dado por

$$\nabla^2 f = \nabla \cdot (\nabla f) = \frac{\partial^2 f}{\partial x^2} + \frac{\partial^2 f}{\partial y^2} + \frac{\partial^2 f}{\partial z^2}$$

designa o *laplaciano de f em (x,y,z)* .

Exemplo 24: O laplaciano do campo escalar

$$f(x,y,z) = x^2 + y^2 + z^2$$

é o campo escalar:

$$\nabla^2 f = \frac{\partial^2}{\partial x^2}(x^2 + y^2 + z^2) + \frac{\partial^2}{\partial y^2}(x^2 + y^2 + z^2) + \frac{\partial^2}{\partial z^2}(x^2 + y^2 + z^2) = 6$$

Exemplo 25: O laplaciano do campo escalar

$$g(x, y, z) = e^{xyz}$$

é o campo escalar:

$$\begin{aligned}\nabla^2 g &= \frac{\partial^2}{\partial x^2}(e^{xyz}) + \frac{\partial^2}{\partial y^2}(e^{xyz}) + \frac{\partial^2}{\partial z^2}(e^{xyz}) = \\ &= \frac{\partial}{\partial x}(yze^{xyz}) + \frac{\partial}{\partial y}(xze^{xyz}) + \frac{\partial}{\partial z}(xye^{xyz}) = \\ &= y^2 z^2 e^{xyz} + x^2 z^2 e^{xyz} + x^2 y^2 e^{xyz} = \\ &= (y^2 z^2 + x^2 z^2 + x^2 y^2) e^{xyz}\end{aligned}$$

Laplaciano de um campo vectorial, $\nabla^2 \vec{v}$

- Seja o campo vectorial

$$\vec{v}(x, y, z) = v_1(x, y, z)\vec{i} + v_2(x, y, z)\vec{j} + v_3(x, y, z)\vec{k}$$

O campo vectorial dado por

$$\nabla^2 \vec{v} = (\nabla^2 v_1)\vec{i} + (\nabla^2 v_2)\vec{j} + (\nabla^2 v_3)\vec{k}$$

designa o laplaciano de \vec{v} em (x, y, z) .

Exemplo 26: Seja o campo vectorial definido em (29). Recorrendo a (30) e (33), obtém-se:

$$\frac{\partial^2 f_1}{\partial x^2} = \frac{y}{\sqrt{(x^2 + y^2)^3}} - \frac{3x^2 y}{\sqrt{(x^2 + y^2)^5}}$$

$$\frac{\partial^2 f_1}{\partial y^2} = \frac{3y}{\sqrt{(x^2 + y^2)^3}} - \frac{3y^3}{\sqrt{(x^2 + y^2)^5}}$$

$$\frac{\partial^2 f_1}{\partial x^2} + \frac{\partial^2 f_1}{\partial y^2} = \frac{y}{\sqrt{(x^2 + y^2)^3}}$$

Por outro lado, tendo em atenção (31) e (34), tem-se:

$$\frac{\partial^2 f_2}{\partial x^2} = -\frac{3x}{\sqrt{(x^2 + y^2)^3}} + \frac{3x^3}{\sqrt{(x^2 + y^2)^5}}$$

$$\frac{\partial^2 f_2}{\partial y^2} = -\frac{x}{\sqrt{(x^2 + y^2)^3}} + \frac{3xy^2}{\sqrt{(x^2 + y^2)^5}}$$

$$\frac{\partial^2 f_2}{\partial x^2} + \frac{\partial^2 f_2}{\partial y^2} = -\frac{x}{\sqrt{(x^2 + y^2)^3}}$$

Então o laplaciano de $\vec{f}(x, y, z)$ é:

$$\nabla^2 \vec{f} = \frac{y}{\sqrt{(x^2 + y^2)^3}} \vec{i} - \frac{x}{\sqrt{(x^2 + y^2)^3}} \vec{j} \quad (36)$$

- A propriedade derivada no teorema seguinte relaciona os operadores rotacional, divergência e laplaciano de um campo vectorial.

Teorema 5: Se $\vec{v}(x, y, z)$ é um campo vectorial, então:

$$\nabla \times (\nabla \times \vec{v}) = \nabla(\nabla \cdot \vec{v}) - \nabla^2 \vec{v} \quad (37)$$

Exemplo 27: Relativamente ao campo vectorial $\vec{f}(x, y, z)$ definido em (29), os resultados encontrados em (32), para a divergência, em (35), para o rotacional, e em (36), para o laplaciano, satisfazem a equação (37).

Com efeito, uma vez que a divergência de $\vec{f}(x, y, z)$ é nula, então:

$$\begin{aligned} \nabla^2 \vec{f} &= -\nabla \times (\nabla \times \vec{f}) = - \begin{vmatrix} \vec{i} & \vec{j} & \vec{k} \\ \frac{\partial}{\partial x} & \frac{\partial}{\partial y} & \frac{\partial}{\partial z} \\ 0 & 0 & \frac{1}{\sqrt{x^2 + y^2}} \end{vmatrix} = \\ &= -\frac{\partial}{\partial y} \left(\frac{1}{\sqrt{x^2 + y^2}} \right) \vec{i} + \frac{\partial}{\partial x} \left(\frac{1}{\sqrt{x^2 + y^2}} \right) \vec{j} = \\ &= \frac{y}{\sqrt{(x^2 + y^2)^3}} \vec{i} - \frac{x}{\sqrt{(x^2 + y^2)^3}} \vec{j} \end{aligned}$$